

Dokumentation PHIT Projekt

Simulation eines Zweikörperproblems

Die Überlegungen, Methoden und Arbeitsschritte zur Simulation eines Zweikörpersystems bis hin zur Entwicklung eines Simulationstools in der Programmiersprache Java.

- ▶ Studiengang: Informatik
- ▶ Modul: Physik für Informatik (PHIT)
- ▶ Semester: HS 2019 (3. Semester)
- ▶ Abgabetermin: Freitag, 15. November 2019

Autoren

Benjamin Bertalan

Fabian Flütsch

Etienne Gubler

Aus der Klasse IT18a_WIN der Zürcher Hochschule für angewandte Wissenschaften.

- ▶ Dozent: Rudolf Fuchsli

Inhaltsverzeichnis

1. Einleitung.....	3
2. Ausgangslage	3
3. Modellierung (Punkt A).....	4
3.1. Vorüberlegungen.....	4
3.1.1. Kraft.....	4
3.1.2. Anfangsgeschwindigkeiten	5
3.1.3. Anfangspositionen	6
3.2. Umlaufbahnen.....	7
3.2.1. Allgemeine Betrachtung.....	7
3.2.2. Situation für die Körper Erde und Mond	8
3.3. Modellgleichungen.....	8
3.3.1. Schwerpunktsgeschwindigkeit.....	8
3.3.2. Umlaufbahnen und Positionsgleichungen	10
4. Simulation (Punkt B)	12
4.1. Simulationstool	12
4.1.1. Grafische Darstellung.....	12
4.1.2. Unterstützte numerische Verfahren.....	13
4.1.3. Konfigurierbare Parameter	13
4.2. Simulation des Zweikörperproblems Erde und Mond	13
5. Einfluss von numerischen Verfahren (Punkt C).....	14
5.1. Runge Kutta Verfahren 4. Ordnung	15
5.2. Euler Verfahren	16
6. Einfluss des Wechselwirkungsgesetzes (Punkt D)	17
7. Schlussfolgerungen	21
7.1. Modellierung.....	21
7.2. Simulation	21
7.3. Numerik.....	21
8. Quellenverzeichnis.....	22
9. Abbildungsverzeichnis	22
10. Anhang	23
10.1. Quellcode.....	23

1. Einleitung

Im vorliegenden Dokument wird das von uns gewählte Vorgehen zur Lösung des Zweikörperproblems beschrieben. Dies umfasst sämtliche Überlegungen und Arbeitsschritte, die zur Erarbeitung der Simulation notwendig waren. Ausserdem werden die erreichten Resultate und insbesondere das Verhalten der Simulation erklärt.

Die Resultate der Simulation wurden graphisch ansprechend gestaltet und sind ebenfalls Teil dieser Dokumentation.

Dieser Bericht ist gemäss den Punkten A – D in der Aufgabenstellung [1] gegliedert.

2. Ausgangslage

Gegeben seien die zwei folgenden Körper:

Körper 1

Als erster Körper wird die Erde gewählt. Die Erde hat eine Masse m_1 von $5.972 \cdot 10^{24} \text{ kg}$. [2]

Körper 2

Als zweiter Körper wird der Mond gewählt. Der Mond hat eine Masse m_2 von $7.349 \cdot 10^{22} \text{ kg}$. [3]

Der Mond rotiert in einer elliptischen Bahn um die Erde (wenn die Erde als Ursprung des Koordinatensystems gewählt wird). Die folgende Abbildung veranschaulicht diesen Sachverhalt.

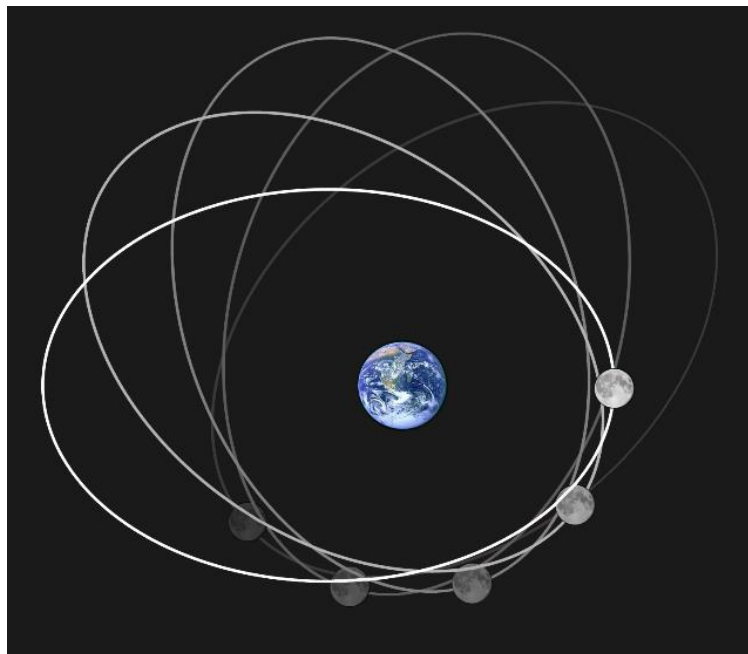


Abbildung 1: Umlaufbahn des Mondes um die Erde (Quelle: Wikipedia)

Gesucht sind die Bahnen, auf welchen sich die zwei Körper (Erde und Mond) bewegen. Also die Positionen der Körper in Abhängigkeit der Zeit.

3. Modellierung (Punkt A)

Dieses Kapitel beschreibt den Prozess zur Erarbeitung der Modellgleichungen. Die Modellgleichungen müssen das Bewegungsverhalten der zwei Körper (Erde und Mond) beschreiben.

3.1. Vorüberlegungen

Um ein Modell für die Bewegung zu erhalten, müssen wir als erstes feststellen, welche Größen die Bewegung der betrachteten Körper beeinflussen. In den folgenden Kapiteln werden diese Größen und deren Einfluss auf die Bewegung der Körper genauer betrachtet.

3.1.1. Kraft

Aufgrund der Massen m_1 und m_2 der beiden Körper, wirkt zwischen den Körpern eine Kraft. Diese Kraft verläuft entlang der Verbindungslinie zwischen den beiden Körpern. Die Kraft auf m_1 und auf m_2 sind betragsmässig identisch und verlaufen in entgegengesetzte Richtungen.

Die wirkenden Kräfte sind abhängig von der Distanz zwischen den Körpern (und von deren Massen). Das folgende Wechselwirkungsgesetz beschreibt die Kraft, welche auf die beiden Körper wirkt:

$$\vec{F}_{12} = \gamma \frac{m_1 * m_2}{|\vec{r}_{12}|^3} \vec{r}_{12}$$

Hierbei bezeichnet γ die Gravitationskonstante: $\gamma \approx 6.6743 * 10^{-11} \frac{m^3}{kg*s^2}$ [4]

Ausserdem bezeichnet \vec{r}_{12} den Vektor von m_1 zu m_2 (also von der Erde zum Mond): $\vec{r}_{12} = \mathbf{r}_2 - \mathbf{r}_1$

In der folgenden Abbildung sind die auf m_1 und m_2 wirkenden Kräfte dargestellt.

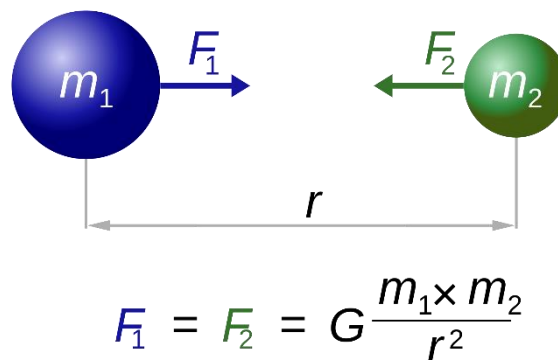


Abbildung 2: Anziehungskräfte zwischen zwei Massen (Quelle: Wikipedia)

Der Betrag und die Richtung von \vec{F}_{12} (resp. $\vec{F}_{21} = -\vec{F}_{12}$) verändern sich, wenn sich die Position der Körper verändert. Dies führt dazu, dass sich beide Körper auf einer elliptischen Bahn bewegen.

Abgesehen von der Kraft \vec{F}_{12} (resp. \vec{F}_{21}) wirken keine weiteren Kräfte auf die betrachteten Körper. Dies ist eine Vereinfachung, welche es uns erlaubt, die Bewegungen der Erde und des Mondes in einem zweidimensionalen System (in der Ebene) zu beschreiben.

Wie oben beschrieben, wirken die zwei betrachteten Kräfte entlang der Verbindungslinie zwischen den zwei Körpern. Diese Linie liegt zu jedem Zeitpunkt in derselben Ebene. Dies ist dadurch gegeben, dass die aus der Kraft resultierende Bewegung (resp. deren Veränderung durch die wirkende Beschleunigung) in Richtung der Kraft verläuft.

Obige Annahme gilt nur dann, wenn auch die Anfangsgeschwindigkeiten in der betrachteten Ebene liegen. Die Anfangsgeschwindigkeiten sind im folgenden Abschnitt genauer beschrieben.

3.1.2. Anfangsgeschwindigkeiten

Die oben beschriebenen Kräfte wirken auf der Verbindungslinie zwischen den zwei Körpern. Wenn also die Anfangsgeschwindigkeiten beider Körper null wären, so würde die Gravitationskraft dazu führen, dass sich die Körper annähern und schliesslich kollidieren.

Dies entspricht nicht den Erwartungen an das Bewegungsverhalten von Erde und Mond. Die Anfangsgeschwindigkeiten können somit nicht null sein.

Der Betrag der Anfangsgeschwindigkeit kann anhand der folgenden Überlegungen ermittelt werden:

Wir wissen, dass sich der Mond in einer nahezu kreisförmigen Umlaufbahn um die Erde bewegt. Daher ist der Abstand zwischen den Körpern Erde und Mond auch zu jedem Zeitpunkt annähernd gleich gross. Er beträgt etwa 384'400 km [3]. Anhand dieses Wertes können wir die Länge der Mond Umlaufbahn berechnen.

$$l_{moon\ orbit} = 2 * |\vec{r}_{12}| * \pi \approx 2.415 * 10^9\ m$$

Wir wissen ausserdem, dass der Mond ungefähr einen Monat benötigt, um die Erde einmal zu umkreisen. Ein Monat entspricht einer Zeit von ungefähr $2.628 * 10^6\ s$. Es lässt sich nun die Durchschnittsgeschwindigkeit des Mondes wie folgt berechnen:

$$v_{moon\ avg} = \frac{l_{moon\ orbit}}{t_{moon\ revolution}} \approx 9.189 * 10^2\ m/s$$

Da der Mond stets ungefähr gleich weit von der Erde entfernt ist, können wir davon ausgehen, dass die Geschwindigkeit des Mondes zu jedem Zeitpunkt annähernd der oben berechneten Durchschnittsgeschwindigkeit entspricht.

Wenn die Geschwindigkeit des Mondes zu jedem Zeitpunkt annähernd gleich gross (also konstant) ist, dann entspricht auch die Anfangsgeschwindigkeit diesem konstanten Wert. Es gilt also:

$$|\vec{v}_{moon}(0)| = 9.189 * 10^2\ m/s$$

Es gilt nun noch die Richtung dieser Anfangsgeschwindigkeit zu bestimmen. Bei kreisförmigen Bewegungen verläuft die Geschwindigkeit stets tangential zur Umlaufbahn. Wir bestimmen nun als nächstes die Anfangspositionen beider Körper und legen dann die Richtungen deren Anfangsgeschwindigkeiten entsprechend fest.

Auch die Erde hat eine Anfangsgeschwindigkeit. Deren Berechnung wird im Kapitel «Modellgleichungen» erläutert. Wir stellen aber bereits jetzt folgendes über die Anfangsgeschwindigkeit der Erde fest:

Die Masse der Erde ist wesentlich grösser als jene des Mondes. Daher bewegt sich der Mond um die Erde. Die Erde bewegt sich dabei nur minimal und mit viel kleinerer Geschwindigkeit als der Mond. Die Anfangsgeschwindigkeit der Erde (sowie deren Geschwindigkeit zu jedem anderen Zeitpunkt) wird

ausserdem immer in entgegengesetzter Richtung zur (Anfangs-) Geschwindigkeit des Mondes verlaufen. Den Grund dafür werden wir ebenfalls im Kapitel «Modellgleichungen» untersuchen.

3.1.3. Anfangspositionen

Um den Verlauf der Position der Erde und des Mondes (deren Trajektorien) zu berechnen, müssen wir für beide Körper die Anfangspositionen festlegen. Die einzige Bedingung an die Anfangspositionen ist, dass deren Abstand der Distanz zwischen der Erde und dem Mond entsprechen muss.

Die Position dieser zwei Anfangspunkte in der Ebene ist nicht weiter eingeschränkt. Wir wählen daher für die Erde die folgende Anfangsposition:

$$\vec{r}_{earth}(0) = \begin{pmatrix} 0 \\ 0 \end{pmatrix}$$

Ausgehend davon müssen wir für die Anfangsposition des Mondes gemäss der oben beschriebenen Bedingung einen Punkt wählen, der genau $|\vec{r}_{12}|$ vom Anfangspunkt der Erde entfernt ist. Wir wählen den folgenden Punkt:

$$\vec{r}_{moon}(0) = \begin{pmatrix} |\vec{r}_{12}| \\ 0 \end{pmatrix}$$

Auf der folgenden Abbildung sind die gewählten Anfangspositionen und das zugrundeliegende Koordinatensystem dargestellt:

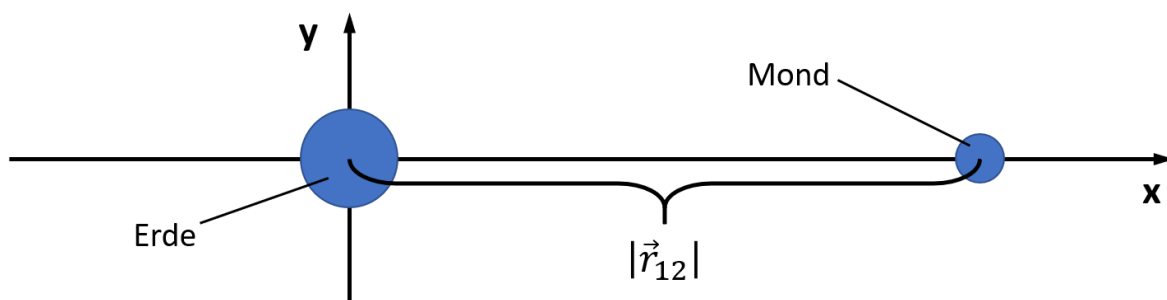


Abbildung 3: Koordinatensystem mit Anfangspositionen der beiden Körper

Wenn wir nun die Umlaufbahn des Mondes als kreisförmige Bewegung um das Zentrum der Erde einzeichnen, können wir die Richtungen der Anfangsgeschwindigkeit des Mondes bestimmen.

Die Geschwindigkeit muss bei einer kreisförmigen Bewegung, wie bereits oben festgehalten, stets tangential zur Umlaufbahn verlaufen. Es stehen uns somit nur zwei Möglichkeiten für die Wahl der Richtung zur Verfügung. Entweder zeigt die Anfangsgeschwindigkeit des Mondes in Richtung der positiven oder in Richtung der negativen Y-Achse. Wir wählen die Anfangsgeschwindigkeit wie folgt:

$$\vec{v}_{moon}(0) = \begin{pmatrix} 0 \frac{m}{s} \\ -9.189 * 10^2 \frac{m}{s} \end{pmatrix}$$

Die oben getroffene Annahme, dass die Umlaufbahn des Mondes ein exakter Kreis um das Zentrum der Erde ist, stellt eine starke Vereinfachung dar. Diese Vereinfachung haben wir nur benötigt, um die Richtung der Anfangsgeschwindigkeit des Mondes zu bestimmen. Im Weiteren gehen wir wieder davon aus, dass die Umlaufbahn des Mondes eine beliebige (nahezu kreisförmige) Ellipse sein wird.

Wir haben insbesondere auch die Bewegung der Erde vernachlässigt. Diese werden wir aber später berechnen.

Nachdem wir die Richtung der Anfangsgeschwindigkeit des Mondes kennen, können wir nun auch die Richtung der Anfangsgeschwindigkeit der Erde bestimmen. Wir haben oben festgehalten, dass die Geschwindigkeiten von Mond und Erde zu jedem Zeitpunkt in entgegengesetzte Richtungen zeigen müssen. Folglich verläuft die Anfangsgeschwindigkeit der Erde in Richtung der positiven Y-Achse. Wir werden feststellen, dass dies tatsächlich stimmt, wenn wir im Kapitel «Modellgleichungen» den exakten Wert von $\vec{v}_{earth}(0)$ berechnen.

In der untenstehenden Abbildung ist die vollständige Anfangssituation mit dem gewählten Koordinatensystem dargestellt.

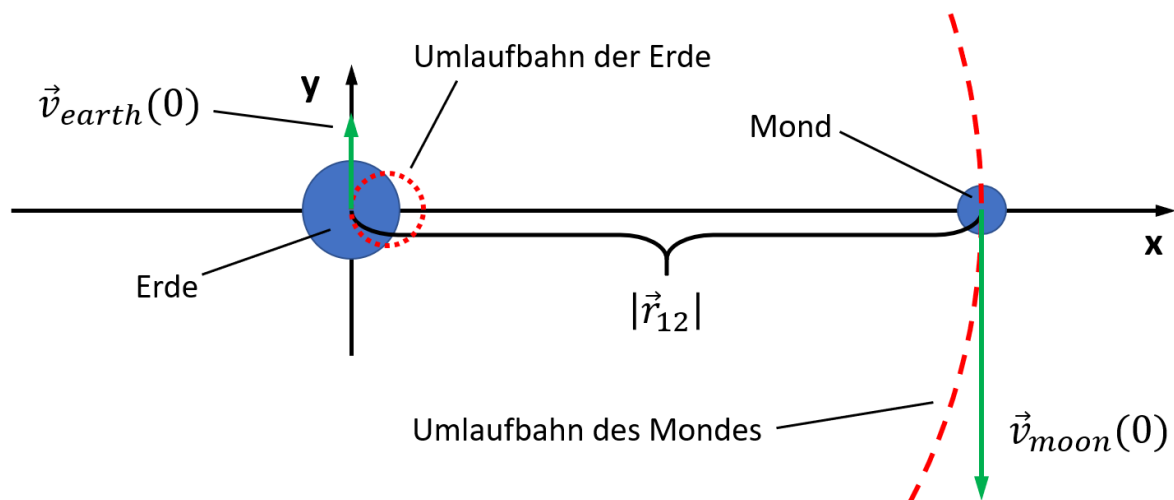


Abbildung 4: Koordinatensystem mit Anfangsgeschwindigkeiten und Umlaufbahnen

Aus obiger Abbildung geht hervor, dass wir für den Betrag der Anfangsgeschwindigkeit der Erde einen Wert erwarten, welcher (wesentlich) kleiner ist als die bereits berechnete Anfangsgeschwindigkeit des Mondes. Die dargestellten Umlaufbahnen sind Vermutungen. Wir erwarten insbesondere, dass die Umlaufbahn der Erde sehr klein sein wird. Es wird also hauptsächlich der Mond um die Erde kreisen.

3.2. Umlaufbahnen

Zwei Körper können sich auf mehrere Arten gegenseitig umkreisen. Im Folgenden sind die verschiedenen Fälle beschrieben. Anschliessend wird die spezifische Situation für die Körper Mond und Erde genauer betrachtet.

3.2.1. Allgemeine Betrachtung

Die erste Möglichkeit ist, dass die Umlaufbahnen der Körper ineinander liegen. Somit wird also der innere Körper vom äusseren Körper umkreist. Der äussere Körper hat eine grössere Umlaufbahn und bewegt sich schneller als der innere. Dies ist dann der Fall, wenn die zwei Massen (stark) verschieden sind. Der innere Körper ist jener mit der grösseren Masse, er bewegt sich weniger schnell.

Die zweite Möglichkeit ist, dass sich die Umlaufbahnen der zwei betrachteten Körper schneiden. Dies ist dann der Fall, wenn die Massen beider Körper ähnlich gross sind. Die Grössen der sich

schneidenden Umlaufbahnen können in diesem Fall trotzdem unterschiedlich sein. Gleich grosse Umlaufbahnen entstehen nur dann, wenn die zwei Massen identisch sind.

Die folgenden Bilder veranschaulichen die zwei oben beschriebenen Fälle.

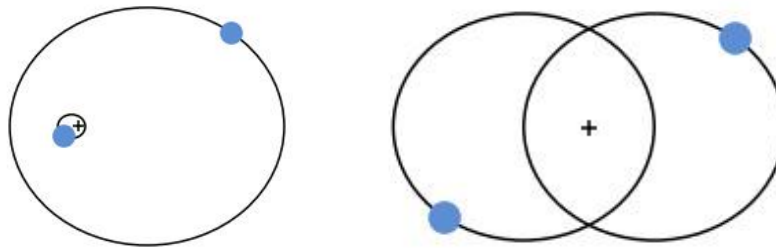


Abbildung 5: Umlaufbahnen bei unterschiedlich grossen Massen (links) resp. ähnlich grossen Massen (rechts)
(Quelle: Wikipedia)

Für zwei Körper mit Massen m_1 und m_2 kann der Massenschwerpunkt bestimmt werden. Dieser ist für beide Situationen in der obenstehenden Abbildung mit einem $+$ Symbol gekennzeichnet. Der Massenschwerpunkt liegt immer im inneren von beiden Umlaufbahnen. Hierbei muss noch folgender Spezialfall betrachtet werden:

Wenn man davon ausgeht, dass die zwei Massepunkte m_1 und m_2 eine gewisse Ausdehnung haben, so kann sich der Massenschwerpunkt im inneren des grösseren (resp. schwereren) Körper befinden.

3.2.2. Situation für die Körper Erde und Mond

Die Massen der zwei Körper Erde und Mond unterscheiden sich um zwei Grössenordnungen. Dies führt dazu, dass deren Umlaufbahnen ineinander liegen. Die Situation entspricht genau dem oben geschilderten Fall für zwei Körper mit unterschiedlich grossen Massen. Ausserdem trifft für die Körper Erde und Mond der beschriebene Spezialfall zu. Der Massenschwerpunkt befindet sich also im Inneren der Erde.

Der Massenschwerpunkt (insbesondere dessen Bewegung) ist für die im folgenden Kapitel beschriebenen Modellgleichungen wichtig. Die Tatsache, dass der Massenschwerpunkt im Inneren der Erde liegt ist im Weiteren jedoch nicht von Bedeutung. Wir betrachten die Erde und den Mond als Punktmassen m_1 und m_2 , welche keine Ausdehnung haben.

3.3. Modellgleichungen

Im folgenden Kapitel werden wir die Gleichungen erarbeiten, die das Bewegungsverhalten der Erde und des Mondes beschreiben. Dabei werden wir auf Anfangswertprobleme treffen. Diese können wir dann mithilfe der oben berechneten Anfangsbedingungen lösen. Es ist also von grosser Bedeutung, dass wir die Anfangsbedingungen richtig bestimmt haben.

3.3.1. Schwerpunktschwindigkeit

Bevor wir die Modellgleichungen für das Zweikörperproblem aufstellen, müssen wir noch die bereits bestimmten Anfangsbedingungen vervollständigen. Es fehlt uns noch die genaue Anfangsgeschwindigkeit der Erde. Für deren Richtung haben wir bereits eine Vermutung getroffen. Ausserdem gingen wir bis anhin davon aus, dass die (Anfangs-) Geschwindigkeit der Erde wesentlich kleiner sein wird als

jene des Mondes. Beide Vermutungen werden wir nun anhand der folgenden Überlegungen und mithilfe der anschließenden exakten Berechnung bestätigen.

Die Erde und der Mond sollen beide (auf unterschiedlichen elliptischen Bahnen) um einen festen Punkt kreisen. Dieser feste Punkt entspricht genau dem bereits oben erwähnten Massenschwerpunkt zwischen der Erde und dem Mond. Wir müssen also die Anfangsgeschwindigkeit der Erde so wählen, dass für die Geschwindigkeit des Massenschwerpunktes $v_{barycenter} = 0$ gilt.

Diese Bedingung stellt sicher, dass die zwei zu simulierenden Körper nicht in eine bestimmte Richtung abdriften, sondern stets im gleichen Bereich des Koordinatensystems bleiben. Dort kreisen sie dann auf elliptischen Bahnen um ihren gemeinsamen Massenschwerpunkt.

Wir berechnen nun die Anfangsgeschwindigkeit der Erde $\vec{v}_{earth}(0)$ anhand der zwei Massen m_1 und m_2 sowie mithilfe der folgenden bereits bestimmten Werte:

$$\vec{v}_{moon}(0) = \begin{pmatrix} 0 \frac{m}{s} \\ -9.189 * 10^2 \frac{m}{s} \end{pmatrix}, \quad v_{barycenter} = 0$$

Für die Geschwindigkeit des Massenschwerpunktes gilt:

$$\vec{v}_{barycenter} = (m_1 * \vec{v}_1 + m_2 * \vec{v}_2) * \frac{1}{m_1 + m_2}$$

$$\Leftrightarrow$$

$$\vec{v}_1 = \frac{\vec{v}_{barycenter} * (m_1 + m_2) - m_2 * \vec{v}_2}{m_1}$$

$$\vec{v}_{barycenter} = 0$$

$$\Leftrightarrow$$

$$\vec{v}_1 = \frac{0 * (m_1 + m_2) - m_2 * \vec{v}_2}{m_1}$$

$$\Leftrightarrow$$

$$\vec{v}_1 = \frac{-m_2 * \vec{v}_2}{m_1}$$

Wir wählen also für die Anfangsgeschwindigkeit der Erde den folgenden Wert:

$$\vec{v}_{earth}(0) = \frac{-7.349 * 10^{22} \text{ kg}}{5.972 * 10^{24} \text{ kg}} * \begin{pmatrix} 0 \frac{m}{s} \\ -9.189 * 10^2 \frac{m}{s} \end{pmatrix} = \begin{pmatrix} 0 \frac{m}{s} \\ 1.131 * 10^1 \frac{m}{s} \end{pmatrix}$$

Dieser Wert stimmt mit unseren zuvor aufgestellten Vermutungen überein. Insbesondere stellen wir fest, dass die zwei Anfangsgeschwindigkeiten der Erde und des Mondes tatsächlich in entgegengesetzte Richtungen zeigen. Die Anfangsgeschwindigkeit der Erde ist auch wie vermutet wesentlich kleiner als jene des Mondes.

Wenn wir für die Anfangsgeschwindigkeit der Erde einen anderen Wert wählen würden, dann ergäbe sich daraus eine konstante Geschwindigkeit für den Massenpunkt (also $v_{barycenter} = \text{const} \neq 0$).

Das würde bedeuten, dass die Erde und der Mond mit der Zeit in eine feste Richtung abdriften. Der Massenschwerpunkt würde sich dann entlang einer geraden Bahn bewegen.

Da wir aber nur an den Umlaufbahnen der Erde und des Mondes interessiert sind, ist es sinnvoll, für den Massenschwerpunkt eine Geschwindigkeit von $v_{\text{barycenter}} = 0$ festzulegen. Wenn wir auch externe Einflüsse (zum Beispiel die Gravitationskraft der Sonne) betrachten würden, so würde sich der gemeinsame Massenschwerpunkt von Erde und Mond natürlich bewegen. Diese Bewegung des Massenschwerpunktes wäre dann allerdings nicht mehr geradlinig.

Die folgende Abbildung veranschaulicht den oben beschriebenen Sachverhalt:

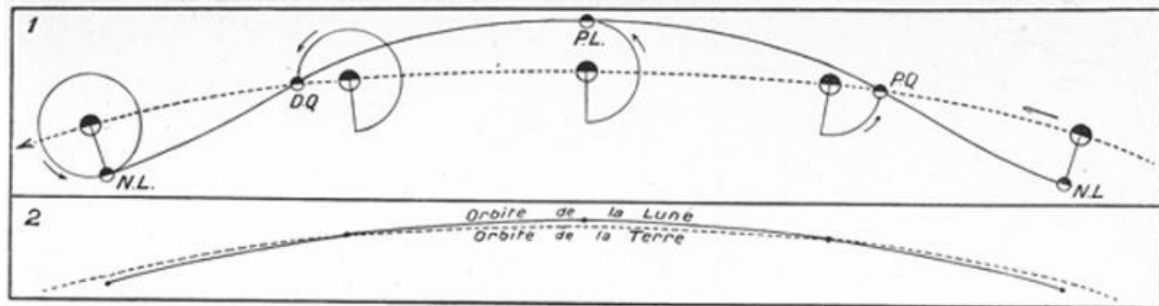


Abbildung 6: Umlaufbahn des Mondes um die Erde unter dem Einfluss der Sonne (Quelle: ilovetheuniverse.com)

3.3.2. Umlaufbahnen und Positionsgleichungen

Unser Ziel besteht darin, die Umlaufbahnen der Erde und des Mondes zu finden. Wir betrachten dabei die Umlaufbahnen, welche durch die gegenseitig wirkenden Gravitationskräfte dieser beiden Körper entstehen. Um das Bewegungsverhalten der Erde und des Mondes (also deren Umlaufbahnen) zu beschreiben, suchen wir nach einer Funktion für die Positionen dieser beiden Körper in Abhängigkeit der Zeit.

Wir haben im Kapitel «Vorüberlegungen» festgestellt, dass die Positionen der beiden Körper durch die auf sie wirkenden Kräfte beeinflusst werden. Wir beginnen unsere Suche nach den Bewegungsgleichungen also bei der wirkenden Kraft. Im Folgenden betrachten wir nur einen einzelnen Körper. Die Überlegungen zur Bewegungsgleichung gelten aber in gleichem Masse für beide Körper.

Um von der Kraft auf die Bewegung eines Körpers schliessen zu können, muss in einem ersten Schritt die wirkende Beschleunigung berechnet werden. Diese resultiert direkt aus der Kraft gemäss folgender Formel:

$$\vec{F} = m * \vec{a}$$

$$\Leftrightarrow$$

$$\vec{a} = \frac{\vec{F}}{m}$$

Die Richtung der Beschleunigung verläuft stets parallel zur Richtung der wirkenden Kraft.

Wenn die Anfangsgeschwindigkeit eines Körpers (zum Zeitpunkt t_0) und die zu jedem Zeitpunkt t auf ihn wirkende Beschleunigung bekannt sind, so lässt sich für jeden Zeitpunkt t die Geschwindigkeit des Körpers berechnen.

Dies ist ein Anfangswertproblem, zu dessen Lösung eine Differentialgleichung 1. Ordnung gelöst werden muss. Die folgende Gleichung beschreibt dieses Anfangswertproblem. Daraus geht hervor, dass die Ableitung der Geschwindigkeit eines Körpers gerade dessen Beschleunigung entspricht.

$$\dot{\vec{v}} = \vec{a}$$

Analog zu den eben beschriebenen Schritten kann nun auch von der Geschwindigkeit eines Körpers auf dessen Position geschlossen werden. Die folgende Gleichung zeigt, dass die Ableitung der Position eines Körpers gerade dessen Geschwindigkeit entspricht.

$$\dot{\vec{s}} = \vec{v}$$

Damit haben wir eine Beschreibung für die Position des Körpers gefunden. Die folgende Gleichung stellt die obigen Schritte zusammengefasst dar. Daraus geht direkt hervor, dass wir die Position des Körpers ausgehend von der auf ihn wirkenden Kraft beschreiben können.

$$\ddot{\vec{s}} = \frac{\vec{F}}{m}$$

Diese Gleichung gilt für beide Körper. Wir setzen nun noch die Formel für die Kraft aus dem Kapitel «Vorüberlegungen» ein und erhalten so je eine separate Beschreibung für die Position der Erde und für die Position des Mondes.

$$\ddot{\vec{s}}_{earth} = \frac{\gamma \frac{m_1 * m_2}{|\vec{r}_{12}|^3} \vec{r}_{12}}{m_1}, \quad \ddot{\vec{s}}_{moon} = \frac{-\gamma \frac{m_1 * m_2}{|\vec{r}_{12}|^3} \vec{r}_{12}}{m_2}$$

Man beachte, dass sich die wirkende Kraft in den beiden obenstehenden Gleichungen lediglich im Vorzeichen unterscheidet.

Mit diesen Gleichungen haben wir eine Beschreibung für die Position beider Körper in Abhängigkeit der auf sie wirkenden Kräfte gefunden. Damit ist unser Modell vollständig und wir können die gesuchte Umlaufbahn sowohl für die Erde als auch für den Mond bestimmen.

Die gefundenen Gleichungen sind Differentialgleichungen 2. Ordnung. Sie bilden zusammen mit den zuvor bestimmten Anfangsbedingungen je ein Anfangswertproblem für die Position der Erde und für die Position des Mondes.

Um die Umlaufbahnen der beiden Körper darzustellen benötigen wir deren Position zu jedem Zeitpunkt t . Wir könnten also versuchen für deren Positionen explizite Funktionen von der folgenden Form zu finden:

$$\vec{s}(t) = ?$$

Eine solche analytische Lösung wäre aber nicht zielführend und sehr schwierig zu finden. Zur Simulation des Zweikörperproblems ist eine numerische Lösung der Positionsgleichungen wesentlich besser geeignet. Dabei stehen uns verschiedene numerische Verfahren zur Auswahl. Den durch die numerischen Verfahren entstehenden Einfluss auf die resultierenden Umlaufbahnen werden wir im Kapitel «Einfluss von numerischen Verfahren» betrachten.

Im nächsten Kapitel werden wir nun die Simulation des Zweikörperproblems und die daraus entstandenen Resultate untersuchen.

4. Simulation (Punkt B)

Wir möchten die oben erarbeiteten Modellgleichungen nun verwenden, um eine grafische Darstellung der Umlaufbahnen von Erde und Mond zu erhalten. Dazu könnten wir einen grafischen Modelleditor, wie zum Beispiel Berkeley-Madonna, verwenden. Diesen Modelleditor müssten wir dann so konfigurieren, dass er in der Lage ist unser Zweikörperproblem zu simulieren.

Wir haben uns jedoch dafür entschieden, ein eigenes Simulationstool in der Programmiersprache Java zu entwickeln. Die Eigenschaften dieses Programms werden im folgenden Kapitel erläutert.

4.1. Simulationstool

Das von uns entwickelte Programm ist in der Lage, das Zweikörperproblem mit den Körpern Erde und Mond zu simulieren. Gegenüber Berkeley-Madonna bietet unser Programm den Vorteil, dass die Ausgabe der Resultate spezifisch an unser Zweikörperproblem angepasst ist.

4.1.1. Grafische Darstellung

In unserem Simulationsprogramm wird die Erde **rot** und der Mond **blau** dargestellt. Das Programm zeigt jeweils die aktuelle Position dieser beiden Körper, sowie den Verlauf der bislang zurückgelegten Strecke auf deren Umlaufbahn. Die folgende Abbildung zeigt einen Screenshot des Programms, nachdem es gestartet wurde.

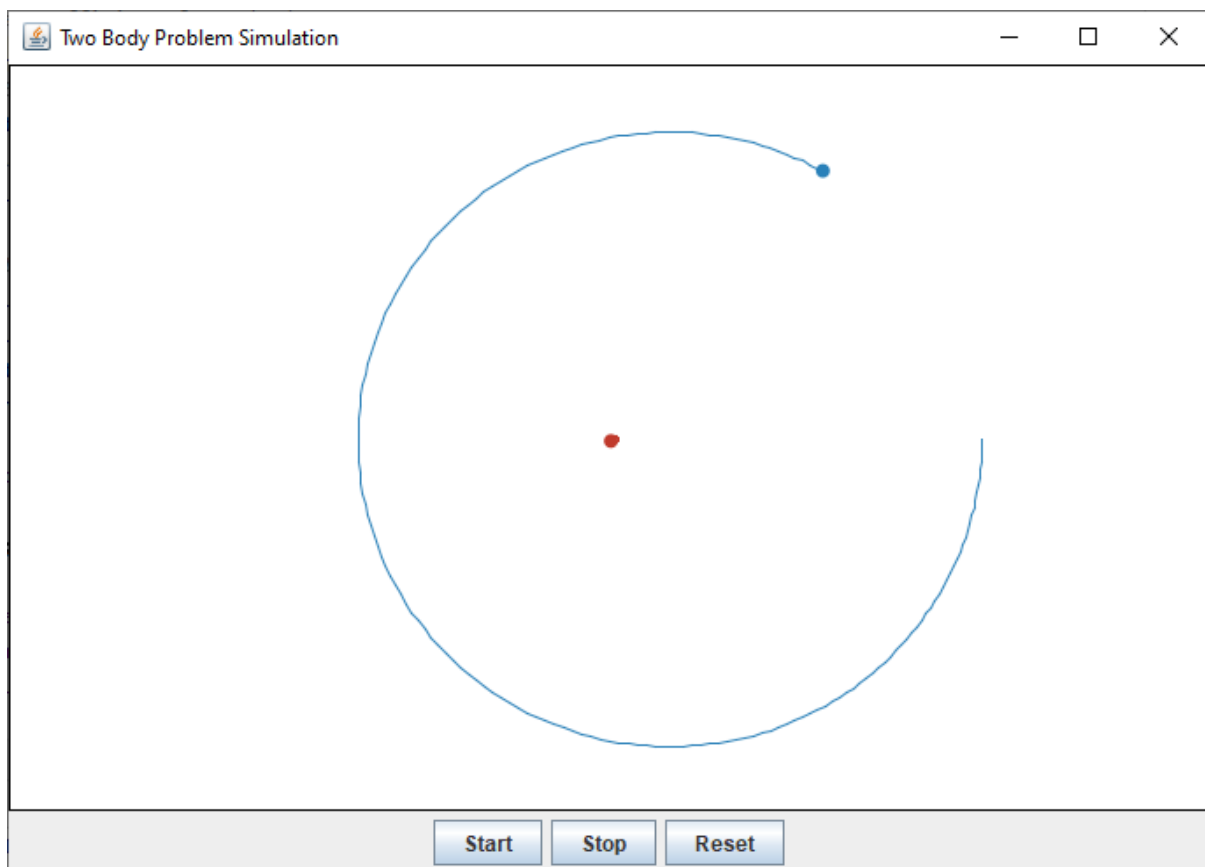


Abbildung 7: Screenshot des zur Simulation entwickelten Java Programms

4.1.2. Unterstützte numerische Verfahren

Um die Umlaufbahnen der beiden Körper darstellen zu können, müssen die oben erarbeiteten Anfangswertprobleme gelöst werden. Unsere Anwendung macht dies mit einem numerischen Verfahren. Es existieren verschiedene numerische Verfahren zur Lösung von Anfangswertproblemen. Diese unterscheiden sich bezüglich Genauigkeit und Rechenaufwand.

Unsere Anwendung unterstützt zwei solche Verfahren zur Lösung der Anfangswertprobleme. Wir haben die folgenden Algorithmen implementiert:

- Runge Kutta 4. Ordnung
- Euler Verfahren

Der Einfluss dieser verschiedenen Algorithmen auf die berechneten Umlaufbahnen wird im Kapitel «Einfluss von numerischen Verfahren» betrachtet.

4.1.3. Konfigurierbare Parameter

Das Simulationsprogramm bietet ausserdem verschiedene Parameter, um das Verhalten der Simulation zu konfigurieren. Es stehen folgende Parameter zur Auswahl:

- Zeitschrittgrösse
- Potenz des Wechselwirkungsgesetzes $1 / r^\alpha$

Auch der Einfluss dieser Parameter wird in den zwei folgenden Kapiteln untersucht.

4.2. Simulation des Zweikörperproblems Erde und Mond

In diesem Kapitel wird untersucht, wie sich die Umlaufbahnen der Erde und des Mondes verhalten, wenn die oben erarbeiteten Anfangsbedingungen und Modellgleichungen für die Simulation verwendet werden.

Das Ziel ist es, das tatsächliche Verhalten der Erde und des Mondes möglichst genau abzubilden. Dazu wird das Runge Kutta Verfahren der 4. Ordnung angewendet, um die Anfangswertprobleme zu lösen. Dieses Verfahren ist im Allgemeinen wesentlich genauer als das einfachere Euler Verfahren.

Um die Genauigkeit weiter zu erhöhen wird eine kleine Zeitschrittgrösse verwendet. Ausserdem wenden wir für diese Simulation das normale Wechselwirkungsgesetz an.

Die für die Simulation verwendete Konfiguration ist also wie folgt:

Algorithmus	Runge Kutta 4. Ordnung
Zeitschrittgrösse	$8.64 * 10^3 \text{ s} \hat{=} 0.1 \text{ Tage}$
Wechselwirkungsgesetz	$1 / r^\alpha$ mit $\alpha = 2.0$

Zugehörige
Abbildung siehe
nächste Seite.

Der simulierte Zeitraum entspricht ungefähr 2 Jahren. Dies ergibt sich daraus, dass wir den Mond ca. 24 mal um die Erde rotieren liessen, bevor wir die Simulation beendet haben.

Die folgende Abbildung zeigt die Ausgabe des Simulationstools.

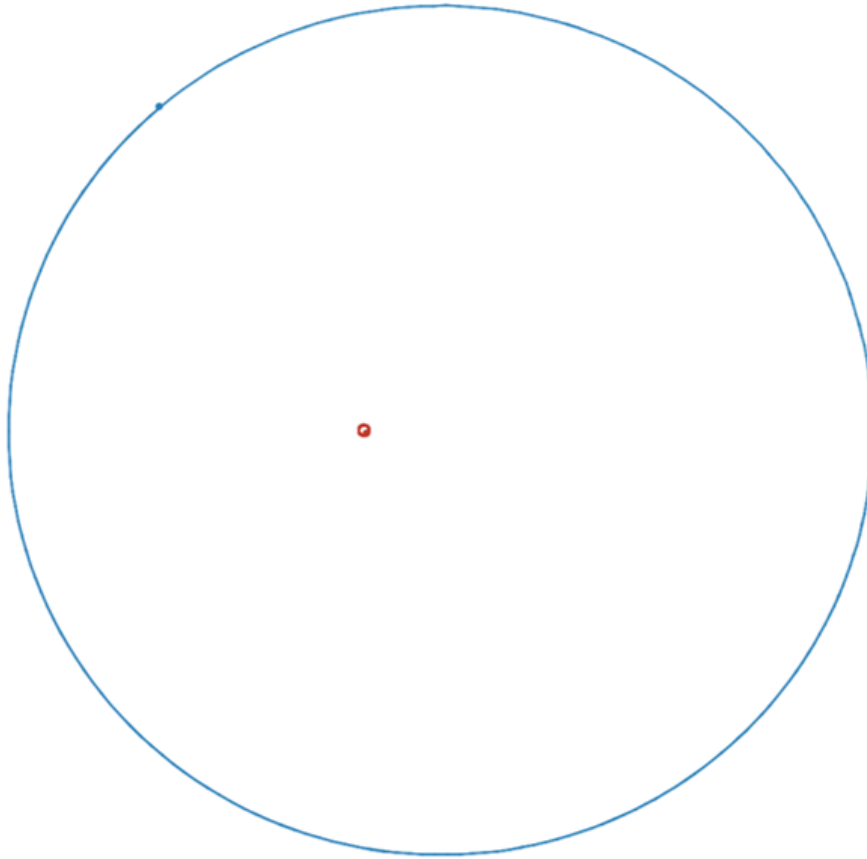


Abbildung 8: Simulation unter Standardbedingungen

Als erstes stellen wir fest, dass sich der Mond tatsächlich auf einer nahezu kreisförmigen Umlaufbahn um die Erde bewegt. Auch die Erde bewegt sich dabei auf einer kreisförmigen Umlaufbahn, diese ist jedoch wesentlich kleiner als jene des Mondes.

Es bestätigen sich also die im Kapitel «Modellierung» aufgestellten Vermutungen.

Wir machen ausserdem die folgenden Feststellungen:

- Der Mond (und die Erde) bewegen sich mit nahezu konstanter Geschwindigkeit
- Der Mond bewegt sich bei jeder Umrundung der Erde entlang derselben Bahn

Wir schliessen daraus, dass sich das Zweikörpersystem Erde und Mond in einem sehr stabilen Zustand befindet. Der Mond wird also noch für eine lange Zeit auf seiner heutigen Umlaufbahn um die Erde kreisen.

5. Einfluss von numerischen Verfahren (Punkt C)

In diesem Kapitel untersuchen wir, wie die Wahl des numerischen Verfahrens das Resultat der Simulation beeinflusst. Wir werden also das Runge Kutta Verfahren der 4. Ordnung mit dem Euler Verfahren vergleichen.

Allgemein gilt, dass das Runge Kutta Verfahren wesentlich genauer ist. Dies erlaubt es, einen signifikant grösseren Wert für den Zeitschritt zu wählen, ohne dass sich die Qualität der Simulation verschlechtert

5.1. Runge Kutta Verfahren 4. Ordnung

Wir haben bereits gesehen, dass unser Simulationstool mit dem Runge Kutta Verfahren unter Verwendung von kleinen Zeitschritten (0.1 Tage) sehr gute Resultate liefert. Nun führen wir erneut eine Simulation mit dem Runge Kutta Verfahren durch, jedoch mit stark vergrößerter Zeitschrittgröße. Die Parameter sind wie folgt eingestellt:

Algorithmus	Runge Kutta 4. Ordnung
Zeitschrittgröße	$1.728 * 10^5 s \cong 2 \text{ Tage}$
Wechselwirkungsgesetz	$1 / r^\alpha$ mit $\alpha = 2.0$

Zugehörige
Abbildung
siehe unten.

Dies macht die Berechnung schneller, da weniger Punkte der Umlaufbahnen berechnet werden müssen. Es reduziert jedoch auch die Genauigkeit, da die Ungenauigkeiten des numerischen Verfahrens dann stärker zu tragen kommen.

Die folgende Abbildung zeigt das Resultat der Simulation.

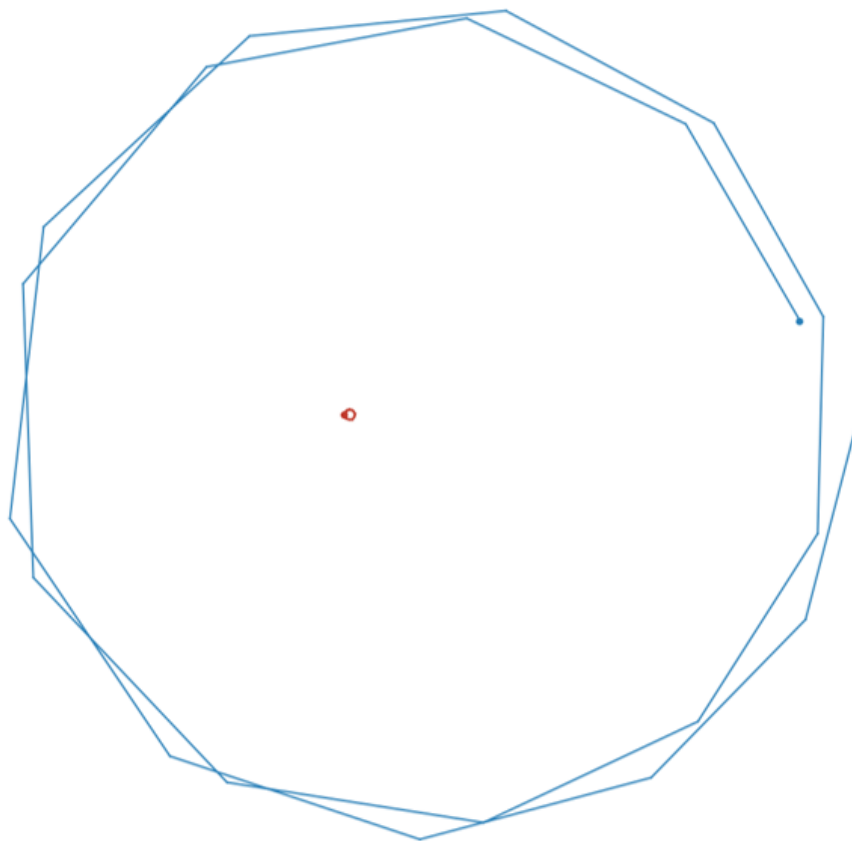


Abbildung 9: Simulation mit dem Runge Kutta Verfahren mit grossen Zeitschritten

Dieser Versuch zeigt, dass das Runge Kutta Verfahren der 4. Ordnung wirklich äusserts gute Näherungslösungen für die Anfangswertprobleme liefert. Die Umlaufbahn des Mondes (und der Erde) sind noch eindeutig zu erkennen, obwohl wir gerade mal 12 Punkte pro Erdumrundung berechnet haben. Wir haben die Position des Mondes also nur ca. alle zwei Tage berechnet und erhalten trotzdem noch ein brauchbares Resultat.

Wir haben diesen Versuch noch ein drittes Mal durchgeführt, und dabei eine Zeitschrittgrösse von 1 Tag gewählt. Dann ist die Ausgabe des Simulationstools bereits so exakt, dass man das Bild nicht mehr von Abbildung 8 (mit einer Zeitschrittgrösse von 0.1 Tagen) unterscheiden kann. Dies zeigt, dass unter Verwendung des Runge Kutta Verfahrens eine Zeitschrittgrösse von 1 Tag absolut ausreichend ist.

5.2. Euler Verfahren

Wir vergleichen die obigen Versuche nun mit dem Euler Verfahren. Dieses Verfahren wird wesentlich ungenauere Resultate liefern.

In einem ersten Versuch wählen wir als Zeitschrittgrösse den Wert von 0.1 Tagen. Dies hat mit dem Runge Kutta verfahren zu hervorragenden Resultaten geführt. Die Parameter sind wie folgt:

Algorithmus	Euler Verfahren
Zeitschrittgrösse	$8.64 * 10^3 s \cong 0.1 \text{ Tage}$
Wechselwirkungsgesetz	$1 / r^\alpha$ mit $\alpha = 2.0$

Zugehörige
Abbildung
siehe unten.

Die folgende Abbildung zeigt das Resultat dieses Versuchs.

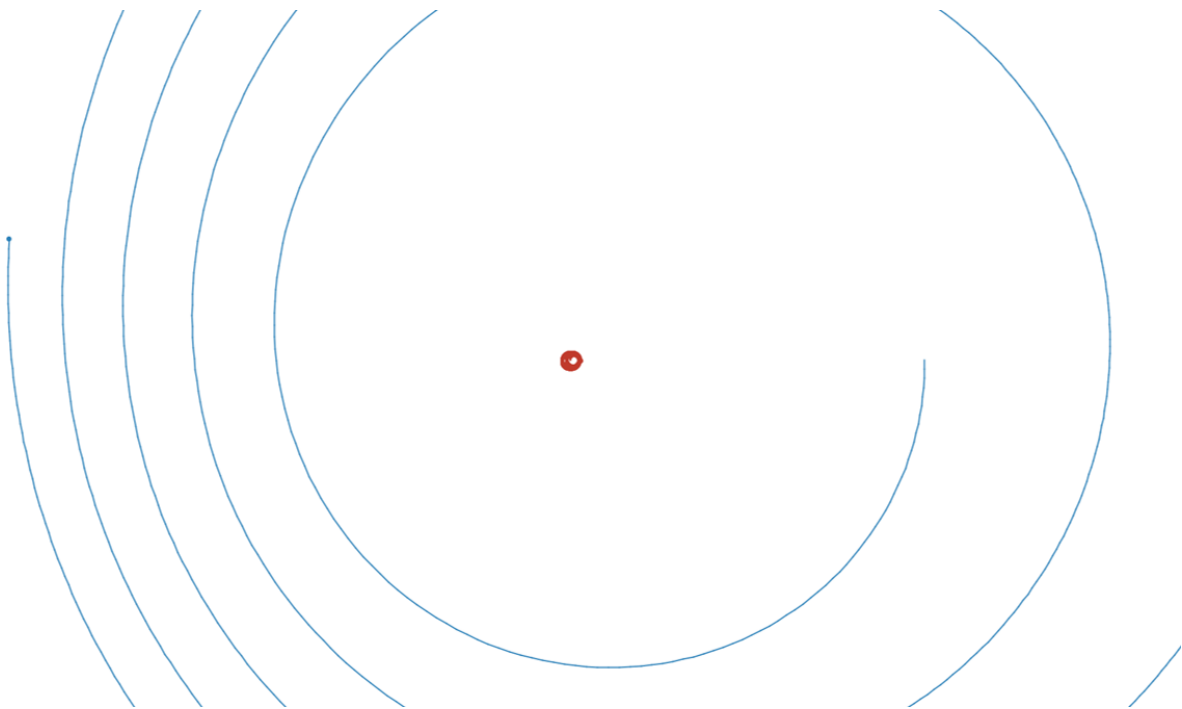


Abbildung 10: Simulation mit dem Euler Verfahren mit kleinen Zeitschritten

Die Abbildung zeigt, dass der Versuch mit den gewählten Einstellungen keine brauchbaren Resultate liefert. Wenn das Euler Verfahren verwendet wird, müsste eine noch viel kleinere Zeitschrittgrösse verwendet werden, um das Verhalten der Erde und des Mondes ähnlich genau wie mit dem Runge Kutta Verfahren zu simulieren.

Weitere Versuche haben gezeigt, dass für die Zeitschrittgrösse ein Wert von 0.0001 Tagen gewählt werden muss, um ähnliche Simulationsresultate wie unter Anwendung des Runge Kutta Verfahrens (bei einer Zeitschrittgrösse von 1 Tag) zu erhalten.

Der Wert von 0.0001 Tagen entspricht ca. 9 Sekunden. Beim Euler Verfahren müssen also äusserst viele Punkte der Umlaufbahnen berechnet werden (die Positionen beider Körper alle 9 Sekunden) um eine korrekte Simulation zu erhalten.

	Gute Simulationsresultate ab einer Zeitschrittgrösse von:
Runge Kutta Verfahren 4. Ordnung	1 Tag
Euler Verfahren	0.0001 Tage

Es lässt sich also sagen, dass das Runge Kutta Verfahren der 4. Ordnung um den Faktor 10^4 genauer ist als das Euler Verfahren. Man beachte jedoch, dass diese spezifischen Werte nur für das von uns modellierte Zweikörperproblem gelten.

6. Einfluss des Wechselwirkungsgesetzes (Punkt D)

In diesem Kapitel möchten wir noch untersuchen, wie verschiedene Wechselwirkungsgesetze das Verhalten der Simulation beeinflussen. Allgemein gilt folgendes Wechselwirkungsgesetz:

$$F = \gamma \frac{m_1 * m_2}{r^\alpha} \text{ mit } \alpha = 2.0$$

Der Parameter $\alpha = 2.0$ kann jedoch verändert werden, um ein anderes Verhalten der gegenseitig wirkenden Gravitationskräfte zu erzielen.

In einem ersten Versuch verwenden wir die folgenden Parameter:

Algorithmus	Runge Kutta 4. Ordnung
Zeitschrittgrösse	$8.64 * 10^3 \text{ s} \hat{=} 0.1 \text{ Tage}$
Wechselwirkungsgesetz	$1 / r^\alpha$ mit $\alpha = 2.03$

Zugehörige
Abbildung siehe
nächste Seite.

Wir arbeiten von nun an nur noch mit dem Runge Kutta Verfahren, da dieses wesentlich genauer ist als das Euler Verfahren. Die Zeitschrittgrösse erhöhen wir nach Bedarf, falls die Simulationsresultate zu wenig exakt sind.

Wir haben in diesem Versuch einen Wert für α gewählt, welcher leicht grösser ist als 2.0. Wir erwarten, dass sich der Mond nun weiter von der Erde entfernen kann. Dies schliessen wir daraus, dass die

Potenz von r (also von der Distanz zwischen den zwei Körpern) erhöht wurde. Die dämpfende Wirkung einer grossen Distanz sollte also stärker ins Gewicht fallen und somit die Anziehungskraft zwischen der Erde und dem Mond reduzieren.

Die folgende Abbildung zeigt das Resultat des Versuchs.

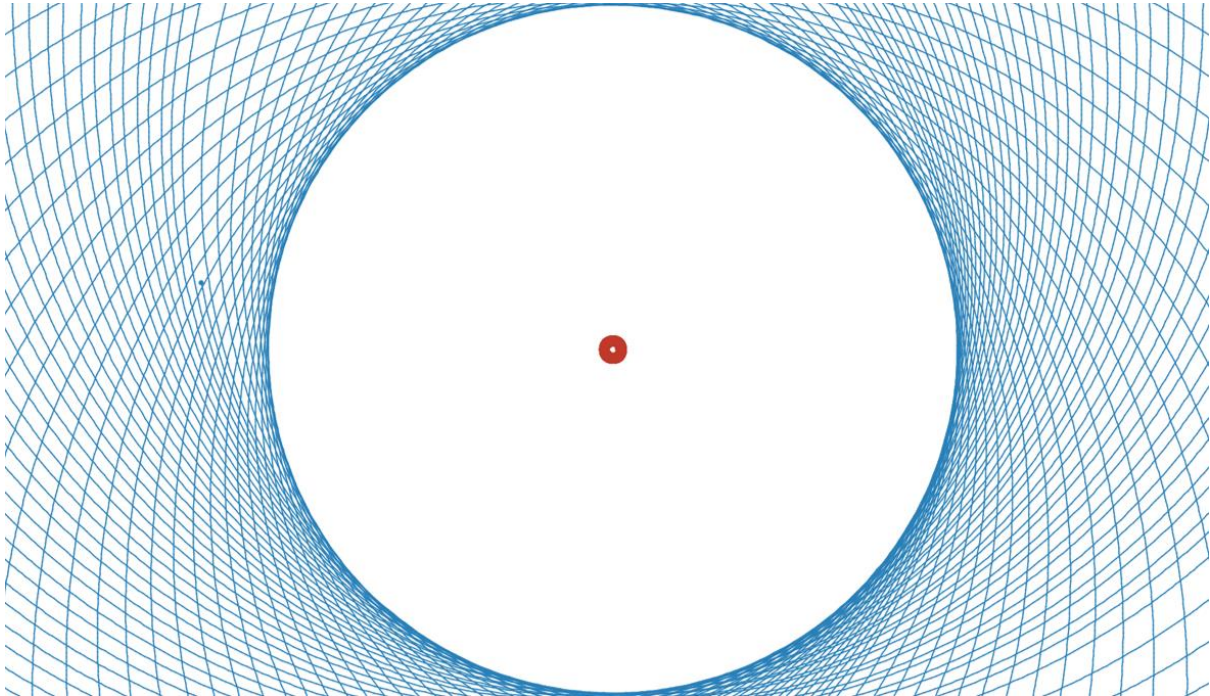


Abbildung 11: Simulation mit einem α Wert von grösser als 2.0

Wir stellen fest, dass sich der Mond tatsächlich weiter von der Erde entfernen kann. Das System scheint allerdings immer noch einen stabilen Zustand zu haben. Der Mond entfernt sich nach jeder vollständigen Umrundung wieder gleich weit von der Erde (und nicht weiter als zuvor). Es ist also offensichtlich nicht der Fall, dass der Mond zu einem gewissen Zeitpunkt seine Umlaufbahn um die Erde verlassen kann.

Wir machen einen zweiten Versuch mit einem noch etwas grösseren Wert für α :

Algorithmus	Runge Kutta 4. Ordnung
Zeitschrittgrösse	$8.64 \cdot 10^3 \text{ s} \hat{=} 0.1 \text{ Tage}$
Wechselwirkungsgesetz	$1 / r^\alpha$ mit $\alpha = 2.042$

Zugehörige
Abbildung siehe
nächste Seite.

Auch hier zeigt sich wieder ein ähnliches Bild wie zuvor. Wir haben auch für diesen Versuch zusätzlich verifiziert, dass sich der Mond nach jeder Umrundung nicht weiter von der Erde entfernt als in der vorhergehenden Umrundung.

Es fällt bei diesem Versuch auf, dass sich die Erde auch bewegt. Durch das veränderte Wechselwirkungsgesetz wurde also nicht nur die Bewegung des Mondes, sondern auch jene der Erde verstärkt.

Das folgende Bild zeigt die Simulierten Umlaufbahnen.

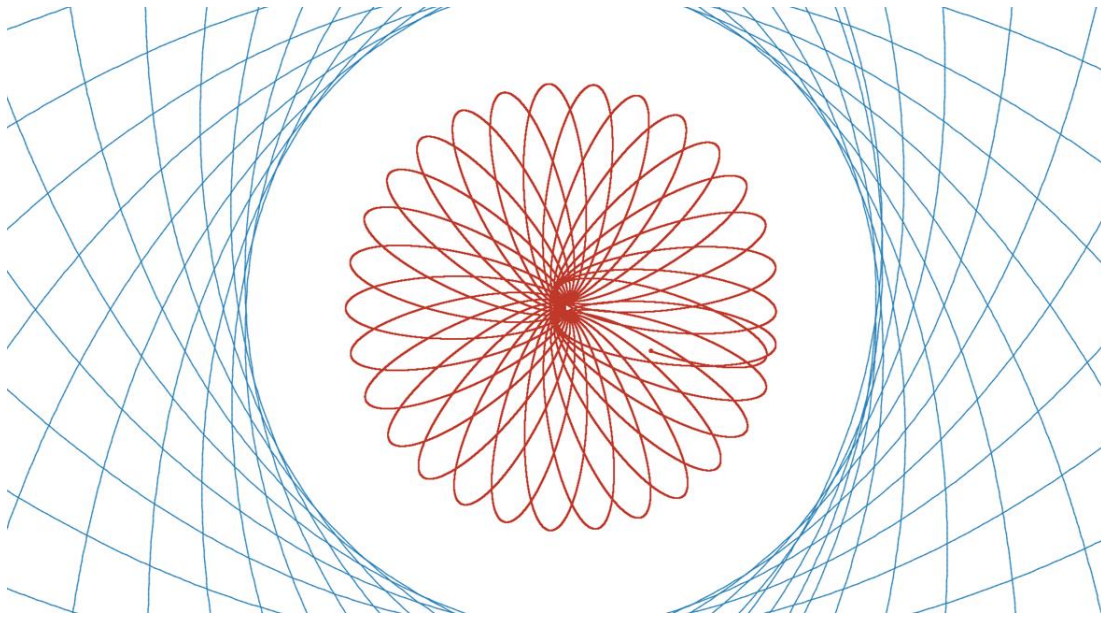


Abbildung 12: Simulation mit einem noch grösseren α Wert ($\alpha = 2.042$)

Nun möchten wir noch herausfinden, was geschieht, wenn wir den Wert von α kleiner als 2.0 wählen. Wir führen eine Simulation mit den folgenden Parametern durch:

Algorithmus	Runge Kutta 4. Ordnung
Zeitschrittgrösse	$8.64 * 10^3 \text{ s} \hat{=} 0.1 \text{ Tage}$
Wechselwirkungsgesetz	$1 / r^\alpha$ mit $\alpha = 1.99$

Zugehörige
Abbildung
siehe unten.

Wir erwarten analog zu den zwei vorherigen Versuchen, dass sich der Mond nun stärker an die Erde annähert. Die folgende Ausgabe des Simulationstools bestätigt diese Vermutung.

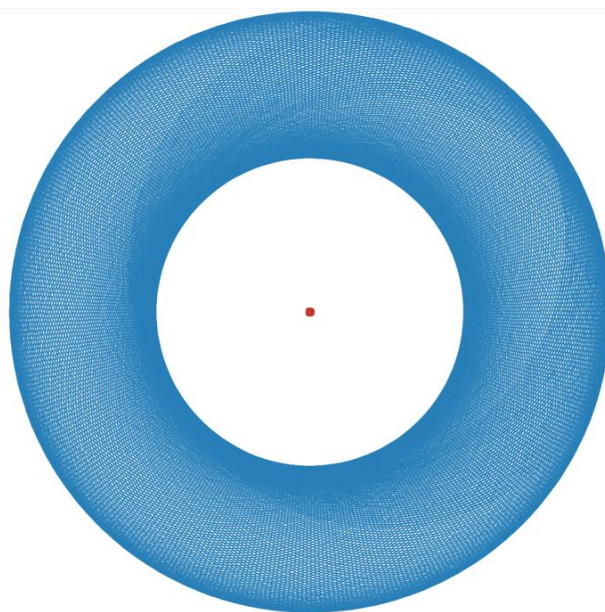


Abbildung 13: Simulation mit einem α Wert von kleiner als 2.0

Auch hier stellen wir fest, dass das Zweikörpersystem mit dem gewählten α Wert stabil zu sein scheint. Der Mond nähert sich zwar stärker an die Erde an als gewöhnlich, er entfernt sich dann aber auch wieder in gleichem Masse.

Wir machen ein weiteres Experiment mit noch kleinerem α Wert:

Algorithmus	Runge Kutta 4. Ordnung
Zeitschrittgrösse	$8.64 * 10^3 \text{ s} \hat{=} 0.1 \text{ Tage}$
Wechselwirkungsgesetz	$1 / r^\alpha$ mit $\alpha = 1.945$

Zugehörige
Abbildung
siehe unten.

Die folgende Abbildung stellt die Resultate der Simulation dar.

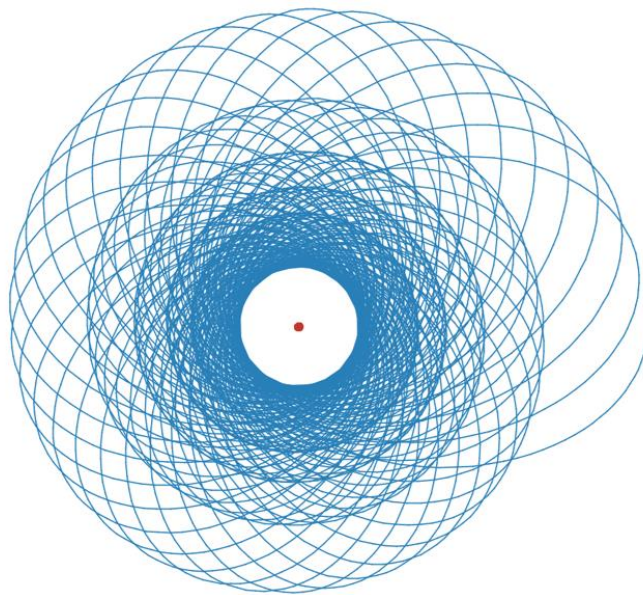


Abbildung 14: Simulation mit einem noch kleineren α Wert ($\alpha = 1.945$)

In diesem Versuch fällt sofort auf, dass sich der Mond nun kontinuierlich der Erde annähert. Dies ist ein neues Verhalten, welches wir bis anhin noch in keinem Versuch beobachten konnten. Dieses System ist also nicht stabil. Wenn die Simulation lange genug läuft kollidiert der Mond mit der Erde.

Nach der Betrachtung aller Versuche zum Einfluss des Wechselwirkungsgesetzes können wir folgende Vermutung aufstellen:

- Wir gehen davon aus, dass ein $\alpha > 2.0$ die Anziehungskräfte zwischen den Körpern reduziert. Der Mond kann sich somit weiter von der Erde entfernen. Er kreist jedoch immer um die Erde und kann diese Umlaufbahn nicht verlassen.
- Ausserdem vermuten wir, dass ein $\alpha < 2.0$ die Anziehungskräfte zwischen den Körpern verstärkt. Der Mond bewegt sich in diesem Fall näher an die Erde heran. Dieses System scheint nicht immer stabil zu sein. Wenn ein genügend kleiner α Wert gewählt wird, so kollidiert der Mond nach einer gewissen Zeit mit der Erde.

7. Schlussfolgerungen

Abschliessend werden in diesem Kapitel die wichtigsten Erkenntnisse aus dieser Untersuchung zusammengefasst.

7.1. Modellierung

Wir haben festgestellt, dass sich Zweikörperprobleme mit erstaunlich wenigen und einfachen Modellgleichungen beschreiben lassen.

Ausschlaggebend für ein korrektes Modell sind insbesondere die Anfangsbedingungen. Diese müssen sinnvoll gewählt werden, da sie das Verhalten des Systems massgeblich beeinflussen.

7.2. Simulation

Zweikörperprobleme lassen sich dank des einfachen Modells auch mit sehr wenig Aufwand simulieren. Bereits eine rudimentäre Implementation kann zu sehr spektakulären Resultaten führen. Für genauere und aufschlussreichere Versuche ist es dann entscheidend, die numerischen Verfahren für die Simulation korrekt zu konfigurieren.

Eine exakte Simulation ist nur dann möglich, wenn ein mehrstufiges Verfahren zur numerischen Lösung der Anfangswertprobleme verwendet wird. Zum Beispiel das Runge Kutta Verfahren der 4. Ordnung.

Unsere Versuche haben die im Kapitel «Modellierung» aufgestellten Vermutungen bestätigt. Der Mond kreist also tatsächlich auf einer nahezu kreisförmigen Bahn um die Erde. Die Erde bewegt sich dabei auch, aufgrund ihrer grösseren Masse jedoch nur minimal.

Die Simulationen haben ausserdem gezeigt, dass das Wechselwirkungsgesetz einen grossen Einfluss auf die Umlaufbahn des Mondes hat. Nur unter Anwendung des $1 / r^2$ - Gesetzes bewegt sich der Mond auf seiner tatsächlichen Bahn um die Erde. Wird für α ein Wert ungleich 2.0 eingesetzt, so kann sich der Mond entweder näher an die Erde heran oder weiter von ihr wegbewegen. Wird ein gewisser α Wert unterschritten, so ist das System nicht mehr stabil und der Mond wird nach einer gewissen Zeit mit der Erde kollidieren.

7.3. Numerik

Wir haben für unser spezifisches Zweikörpersystem festgestellt, dass der Runge Kutta Algorithmus der 4. Ordnung wesentlich genauer ist als das Euler Verfahren. Diese Feststellung gilt auch im Allgemeinen.

Durch unsere Versuche haben wir ausserdem erkannt, dass die Ungenauigkeit des Euler Verfahrens teilweise durch eine (starke) Verkleinerung der Zeitschrittgrösse kompensiert werden kann. Dies ist aber ineffizient und geht zulasten der Performance.

Ein effizientes numerisches Verfahren zur Lösung von Anfangswertproblemen, wie zum Beispiel das Runge Kutta Verfahren, ist für die computergestützte Simulation von grosser Bedeutung.

8. Quellenverzeichnis

- [1] „Auftrag: Simulation eines Zweikörperproblems“.
- [2] Wikipedia, „Erde“. URL: <https://de.wikipedia.org/wiki/Erde>
- [3] Wikipedia, „Mond“. URL: <https://de.wikipedia.org/wiki/Mond>
- [4] Wikipedia, „Gravitationskonstante“. URL: <https://de.wikipedia.org/wiki/Gravitationskonstante>

9. Abbildungsverzeichnis

- Abb. 1 Wikipedia, „Umlaufbahn des Mondes um die Erde.“
URL: https://en.wikipedia.org/wiki/Orbit_of_the_Moon
- Abb. 2 Wikipedia, „Anziehungskräfte zwischen zwei Massen.“
URL: https://de.wikipedia.org/wiki/Newtonsches_Gravitationsgesetz
- Abb. 3 „Koordinatensystem mit Anfangspositionen der beiden Körper.“
- Abb. 4 „Koordinatensystem mit Anfangsgeschwindigkeiten und Umlaufbahnen.“
- Abb. 5 Wikipedia, „Umlaufbahnen bei unterschiedlich grossen resp. ähnlich grossen Massen.“
URL: <https://de.wikipedia.org/wiki/Zweikörperproblem>
- Abb. 6 ilovetheuniverse.com, „Umlaufbahn des Mondes um die Erde unter dem Einfluss der Sonne.“
URL: <https://ilovetheuniverse.com/why-isnt-moon-planet>
- Abb. 7 „Screenshot des zur Simulation entwickelten Java Programms.“
- Abb. 8 „Simulation unter Standardbedingungen.“
- Abb. 9 „Simulation mit dem Runge Kutta Verfahren mit grossen Zeitschritten.“
- Abb. 10 „Simulation mit dem Euler Verfahren mit kleinen Zeitschritten.“
- Abb. 11 „Simulation mit einem α Wert von grösser als 2.0.“
- Abb. 12 „Simulation mit einem noch grösseren α Wert ($\alpha = 2.042$).“
- Abb. 13 „Simulation mit einem α Wert von kleiner als 2.0.“
- Abb. 14 „Simulation mit einem noch kleineren α Wert ($\alpha = 1.945$).“

10. Anhang

10.1. Quellcode

Unser Simulationstool ist vollständig in Java programmiert und basiert auf keinerlei externem Code. Alle Funktionen (inklusive der numerischen Verfahren zur Lösung der Anfangswertprobleme) sowie die grafische Benutzeroberfläche wurden von uns selbst entwickelt.

Auf den folgenden Seiten befindet sich der komplette Quellcode unserer Anwendung.

```

1 package ch.gubleet.phit;
2
3 import javax.swing.*;
4 import java.awt.*;
5 import java.awt.geom.Ellipse2D;
6 import java.awt.geom.Line2D;
7 import java.awt.geom.Point2D;
8 import java.awt.image.BufferedImage;
9 import java.util.LinkedList;
10 import java.util.List;
11 import java.util.concurrent.Executors;
12 import java.util.concurrent.ScheduledExecutorService;
13 import java.util.concurrent.ScheduledFuture;
14 import java.util.concurrent.TimeUnit;
15
16 public class TwoBodyProblem {
17
18     // used for simulation
19     private static final double GRAVITATIONAL_CONSTANT = 6.6743e-11;
20     private static final double EARTH_WEIGHT = 5.972e24;
21     private static final double MOON_WEIGHT = 7.349e22;
22     private static final double G_M1 = GRAVITATIONAL_CONSTANT * EARTH_WEIGHT;
23     private static final double G_M2 = GRAVITATIONAL_CONSTANT * MOON_WEIGHT;
24
25     // algorithms
26     private static final int RUNGE_KUTTA_4 = 0;
27     private static final int EULER = 1;
28
29     //initial values
30     private static final double earth_x_init = 0;
31     private static final double earth_y_init = 0;
32     private static final double earth_vx_init = 0;
33     private static final double earth_vy_init = 1.131e1;
34     private static final double moon_x_init = 3.844e8;
35     private static final double moon_y_init = 0;
36     private static final double moon_vx_init = 0;
37     private static final double moon_vy_init = -9.189e2;
38
39     // -----
40     // CONFIGURE VALUES TO ADJUST SIMULATION BEHAVIOR
41     // -----
42     // 8.64e4 = 1 Day (sufficient for runge kutta 4th order)
43     // 3.6e3 = 1 Hour (almost sufficient for euler)
44     private static final double TIME_STEP = 8.64e4;
45     // RUNGE_KUTTA_4 or EULER
46     private static final int ALGORITHM = RUNGE_KUTTA_4;
47     // alpha for Law of gravitation 1/r^alpha
48     private static final double ALPHA = 2.0;
49
50     // only used to calculate reasonable paint refresh rate
51     private static final double AVG_MOON_EARTH_DISTANCE = 3.844e8;
52     private static final double AVG_MOON_SPEED = 9.189e2;
53     private static final int SECONDS_PER_REVOLUTION = 3;
54     private static final long STEP_DELAY_MICROSECONDS = Math.round(
        SECONDS_PER_REVOLUTION * 1e6 / (2.628e6 / TIME_STEP));

```



```

55
56     private final Object lock = new Object();
57     private ScheduledFuture future;
58     private boolean running;
59
60     private List<Position> earthPath;
61     private List<Position> moonPath;
62     private BufferedImage buffer;
63
64     // earth state
65     private double earth_x;
66     private double earth_y;
67     private double earth_vx;
68     private double earth_vy;
69
70     private double earth_dx;
71     private double earth_dy;
72     private double earth_dvx;
73     private double earth_dvy;
74
75     // moon state
76     private double moon_x;
77     private double moon_y;
78     private double moon_vx;
79     private double moon_vy;
80
81     private double moon_dx;
82     private double moon_dy;
83     private double moon_dvx;
84     private double moon_dvy;
85
86     private double scale;
87     private double origin_x;
88     private double origin_y;
89
90     private int paint_d;
91     private int unpainted;
92
93     private JPanel cp;
94     private SimulationPanel sim;
95     private JPanel glassPanel;
96
97     private Color c_earth = new Color(192, 57, 43);
98     private Color c_moon = new Color(41, 128, 185);
99
100    private TwoBodyProblem() {
101        Dimension screen = Toolkit.getDefaultToolkit().getScreenSize();
102        double scale_max = Math.max(screen.width, screen.height) / (
103            AVG_MOON_EARTH_DISTANCE * 2);
104        paint_d = (int) Math.ceil(10 / (AVG_MOON_SPEED * TIME_STEP * scale_max
105        ));
106        initialize();
107        JFrame frame = new JFrame();
108        frame.setTitle("Two Body Problem Simulation");
109        frame.setDefaultCloseOperation(JFrame.EXIT_ON_CLOSE);

```

```

108     frame.setResizable(true);
109     frame.setMinimumSize(new Dimension(700, 500));
110     frame.setExtendedState(JFrame.MAXIMIZED_BOTH);
111     createUI();
112     frame.setContentPane(cp);
113     frame.pack();
114     frame.setLocationRelativeTo(null);
115     frame.setVisible(true);
116 }
117
118 public static void main(String[] args) {
119     new TwoBodyProblem();
120 }
121
122 private void initialize() {
123     earthPath = new LinkedList<>();
124     moonPath = new LinkedList<>();
125     // earth
126     earth_x = earth_x_init;
127     earth_y = earth_y_init;
128     earth_vx = earth_vx_init;
129     earth_vy = earth_vy_init;
130     earthPath.add(new Position(earth_x, earth_y));
131     // moon
132     moon_x = moon_x_init;
133     moon_y = moon_y_init;
134     moon_vx = moon_vx_init;
135     moon_vy = moon_vy_init;
136     moonPath.add(new Position(moon_x, moon_y));
137     // paint counter
138     unpainted = 0;
139 }
140
141 @SuppressWarnings("ConstantConditions")
142 private void step() {
143     // method to solve the differential equations
144     if (ALGORITHM == RUNGE_KUTTA_4) {
145         rungeKutta4();
146     }
147     if (ALGORITHM == EULER) {
148         euler();
149     }
150     unpainted++;
151     if (unpainted == paint_d) {
152         earthPath.add(new Position(earth_x, earth_y));
153         moonPath.add(new Position(moon_x, moon_y));
154         synchronized (lock) {
155             if (buffer != null) {
156                 drawLast();
157             }
158         }
159         unpainted = 0;
160     }
161 }
162

```

```

163     private void rungeKutta4() {
164         double t = TIME_STEP;
165         double[] dt = new double[]{t / 2.0, t / 2.0, t, 0.0};
166         double[] c = new double[]{t / 6.0, t / 3.0, t / 3.0, t / 6.0};
167         double[] u0 = new double[]{earth_x, earth_y, earth_vx, earth_vy,
moon_x, moon_y, moon_vx, moon_vy};
168         double[] ut = new double[]{0, 0, 0, 0, 0, 0, 0, 0};
169         double[] u = varToU();
170         for (int j = 0; j < 4; j++) {
171             uToVar(u);
172             derivative();
173             double[] du = new double[]{earth_dx, earth_dy, earth_dvx,
earth_dvy, moon_dx, moon_dy, moon_dvx, moon_dvy};
174             for (int i = 0; i < 4; i++) {
175                 u[i] = u0[i] + dt[j] * du[i];
176                 ut[i] = ut[i] + c[j] * du[i];
177                 u[i + 4] = u0[i + 4] + dt[j] * du[i + 4];
178                 ut[i + 4] = ut[i + 4] + c[j] * du[i + 4];
179             }
180         }
181         for (int i = 0; i < 8; i++) {
182             u[i] = u0[i] + ut[i];
183         }
184         uToVar(u);
185     }
186
187     private void euler() {
188         double t = TIME_STEP;
189         derivative();
190         // earth
191         earth_x += earth_dx * t;
192         earth_y += earth_dy * t;
193         earth_vx += earth_dvx * t;
194         earth_vy += earth_dvy * t;
195         // moon
196         moon_x += moon_dx * t;
197         moon_y += moon_dy * t;
198         moon_vx += moon_dvx * t;
199         moon_vy += moon_dvy * t;
200     }
201
202     private void derivative() {
203         // vector from earth to moon
204         double dx = moon_x - earth_x;
205         double dy = moon_y - earth_y;
206         double l = Math.sqrt(dx * dx + dy * dy);
207         // earth
208         earth_dx = earth_vx;
209         earth_dy = earth_vy;
210         double p = ALPHA + 1;
211         earth_dvx = (G_M2 / Math.pow(l, p)) * dx;
212         earth_dvy = (G_M2 / Math.pow(l, p)) * dy;
213         // moon
214         moon_dx = moon_vx;
215         moon_dy = moon_vy;

```

```

216     moon_dvx = (-G_M1 / Math.pow(1, p)) * dx;
217     moon_dvy = (-G_M1 / Math.pow(1, p)) * dy;
218 }
219
220 private void uToVar(double[] u) {
221     earth_x = u[0];
222     earth_y = u[1];
223     earth_vx = u[2];
224     earth_vy = u[3];
225     moon_x = u[4];
226     moon_y = u[5];
227     moon_vx = u[6];
228     moon_vy = u[7];
229 }
230
231 private double[] varToU() {
232     double[] u = new double[8];
233     u[0] = earth_x;
234     u[1] = earth_y;
235     u[2] = earth_vx;
236     u[3] = earth_vy;
237     u[4] = moon_x;
238     u[5] = moon_y;
239     u[6] = moon_vx;
240     u[7] = moon_vy;
241     return u;
242 }
243
244 private Point2D posToPoint(Position position) {
245     double x = origin_x + position.x * scale;
246     double y = origin_y + position.y * scale * -1;
247     return new Point2D.Double(x, y);
248 }
249
250 private void start() {
251     if (!running) {
252         ScheduledExecutorService scheduler = Executors.
newSingleThreadScheduledExecutor();
253         future = scheduler.scheduleAtFixedRate(this::step,
254             0, STEP_DELAY_MICROSECONDS, TimeUnit.MICROSECONDS);
255         running = true;
256     }
257 }
258
259 private void stop() {
260     if (running) {
261         future.cancel(false);
262         running = false;
263     }
264 }
265
266 private void reset() {
267     if (running) {
268         stop();
269     }

```



```

270     initialize();
271     synchronized (lock) {
272         buffer = null;
273     }
274     glassPanel.repaint();
275     sim.repaint();
276 }
277
278 private void drawLast() {
279     drawLast(earthPath);
280     drawLast(moonPath);
281     glassPanel.repaint();
282     sim.repaint();
283 }
284
285 private void drawLast(List<Position> path) {
286     Graphics2D g = buffer.createGraphics();
287     g.setRenderingHint(RenderingHints.KEY_ANTIALIASING, RenderingHints.
VALUE_ANTIALIAS_ON);
288     if (path == earthPath) {
289         g.setColor(c_earth);
290     }
291     if (path == moonPath) {
292         g.setColor(c_moon);
293     }
294     Point2D from = posToPoint(path.get(path.size() - 1));
295     Point2D to = posToPoint(path.get(path.size() - 2));
296     g.draw(new Line2D.Double(from, to));
297     g.dispose();
298 }
299
300 private void drawAll() {
301     drawAll(earthPath);
302     drawAll(moonPath);
303     glassPanel.repaint();
304     sim.repaint();
305 }
306
307 private void drawAll(List<Position> path) {
308     Graphics2D g = buffer.createGraphics();
309     g.setRenderingHint(RenderingHints.KEY_ANTIALIASING, RenderingHints.
VALUE_ANTIALIAS_ON);
310     if (path == earthPath) {
311         g.setColor(c_earth);
312     }
313     if (path == moonPath) {
314         g.setColor(c_moon);
315     }
316     Point2D prev = null;
317     for (int i = 0; i < path.size(); i++) {
318         Position position = path.get(i);
319         Point2D curr = posToPoint(position);
320         if (prev == null) {
321             prev = curr;
322             continue;

```

```

323     }
324     g.draw(new Line2D.Double(prev, curr));
325     prev = curr;
326 }
327 g.dispose();
328 }
329
330 private void createUI() {
331     cp = new JPanel();
332     cp.setLayout(new BorderLayout());
333     // simulation
334     sim = new SimulationPanel();
335     // glass panel
336     glassPanel = new JPanel() {
337         @Override
338         protected void paintComponent(Graphics g) {
339             super.paintComponent(g);
340             Graphics2D g2d = (Graphics2D) g;
341             g2d.setRenderingHint(RenderingHints.KEY_ANTIALIASING,
RenderingHints.VALUE_ANTIALIAS_ON);
342             // earth indicator
343             Point2D p = posToPoint(earthPath.get(earthPath.size() - 1));
344             Ellipse2D e = new Ellipse2D.Double(p.getX() - 4, p.getY() - 4
, 8, 8);
345             g.setColor(c_earth);
346             g2d.fill(e);
347             // moon indicator
348             p = posToPoint(moonPath.get(moonPath.size() - 1));
349             e = new Ellipse2D.Double(p.getX() - 4, p.getY() - 4, 8, 8);
350             g.setColor(c_moon);
351             g2d.fill(e);
352         }
353     };
354     glassPanel.setOpaque(false);
355     // buttons
356     JPanel buttons = new JPanel();
357     JButton start = new JButton("Start");
358     start.addActionListener(e -> start());
359     start.setFocusable(false);
360     JButton stop = new JButton("Stop");
361     stop.addActionListener(e -> stop());
362     stop.setFocusable(false);
363     JButton reset = new JButton("Reset");
364     reset.addActionListener(e -> reset());
365     reset.setFocusable(false);
366     buttons.add(start);
367     buttons.add(stop);
368     buttons.add(reset);
369     // content pane
370     JLayeredPane layers = new Layers();
371     layers.add(glassPanel, Integer.valueOf(1));
372     layers.add(sim, Integer.valueOf(0));
373     cp.add(layers, BorderLayout.CENTER);
374     cp.add(buttons, BorderLayout.SOUTH);
375 }

```

```

376
377     private static class Position {
378
379         double x;
380         double y;
381
382         Position(double x, double y) {
383             this.x = x;
384             this.y = y;
385         }
386     }
387
388     private static class Layers extends JLayeredPane {
389
390         Layers() {
391             setLayout(new LayoutManager() {
392                 @Override
393                 public void addLayoutComponent(String name, Component comp) {
394                     // nothing
395                 }
396
397                 @Override
398                 public void removeLayoutComponent(Component comp) {
399                     // nothing
400                 }
401
402                 @Override
403                 public Dimension preferredLayoutSize(Container parent) {
404                     return new Dimension(Integer.MAX_VALUE, Integer.MAX_VALUE
405 );
406                 }
407
408                 @Override
409                 public Dimension minimumLayoutSize(Container parent) {
410                     return new Dimension(0, 0);
411                 }
412
413                 @Override
414                 public void layoutContainer(Container parent) {
415                     for (int i = 0; i < parent.getComponentCount(); i++) {
416                         parent.getComponent(i).setBounds(parent.getBounds());
417                     }
418                 }
419             });
420         }
421
422         private class SimulationPanel extends JPanel {
423
424             SimulationPanel() {
425                 setBorder(BorderFactory.createLineBorder(Color.BLACK));
426                 setBackground(Color.WHITE);
427             }
428
429             private BufferedImage getBuffer() {

```

```
430         if (buffer == null) {
431             Insets i = getInsets();
432             int w = Math.max(1, getWidth() - i.left - i.right);
433             int h = Math.max(1, getHeight() - i.top - i.bottom);
434             buffer = new BufferedImage(w, h, BufferedImage.TYPE_INT_ARGB);
435             origin_x = i.left + (w / 2.0);
436             origin_y = i.top + (h / 2.0);
437             double scale_w = w / (AVG_MOON_EARTH_DISTANCE * 2);
438             double scale_h = h / (AVG_MOON_EARTH_DISTANCE * 2);
439             scale = Math.min(scale_w, scale_h);
440             drawAll();
441         }
442         return buffer;
443     }
444
445     @Override
446     public void invalidate() {
447         synchronized (lock) {
448             buffer = null;
449             super.invalidate();
450         }
451     }
452
453     @Override
454     protected void paintComponent(Graphics g) {
455         synchronized (lock) {
456             super.paintComponent(g);
457             Insets i = getInsets();
458             g.drawImage(getBuffer(), i.left, i.top, this);
459         }
460     }
461 }
462 }
463
```